

**UNIVERSIDADE ESTADUAL DE CAMPINAS**  
**FACULDADE DE ENGENHARIA ELÉTRICA E COMPUTAÇÃO**



**EFC 5 - Transformada Discreta de Fourier**

Prof. Levy Bocatto

**Victor Hugo Picerni Pinto Ferreira RA: 187930**

CAMPINAS

24 de dezembro de 2020

## Sumário

|          |                                 |          |
|----------|---------------------------------|----------|
| <b>1</b> | <b>Respostas das Atividades</b> | <b>2</b> |
| 1.1      | Item (a) . . . . .              | 2        |
| 1.2      | Item (b) . . . . .              | 2        |
| 1.3      | item (c) . . . . .              | 4        |
| 1.4      | item (d) . . . . .              | 4        |
| 1.5      | item (e) . . . . .              | 6        |

# 1 Respostas das Atividades

## 1.1 Item (a)

Gere a sequência  $x[n]$  tomando  $N = 64$  amostras de  $x(t)$  no intervalo de 0 a 1 segundo (ou seja, a frequência de amostragem é igual a  $f_s = 64$  Hz). Logo,  $x[n] = \text{sen}(2f_0 f_s n)$ , onde  $n = 0, \dots, N - 1$ . Mostre a sequência obtida, utilizando o comando `stem()`.

Para uma frequência fundamental de 6Hz, retirando 64 amostras, temos o seguinte gráfico:

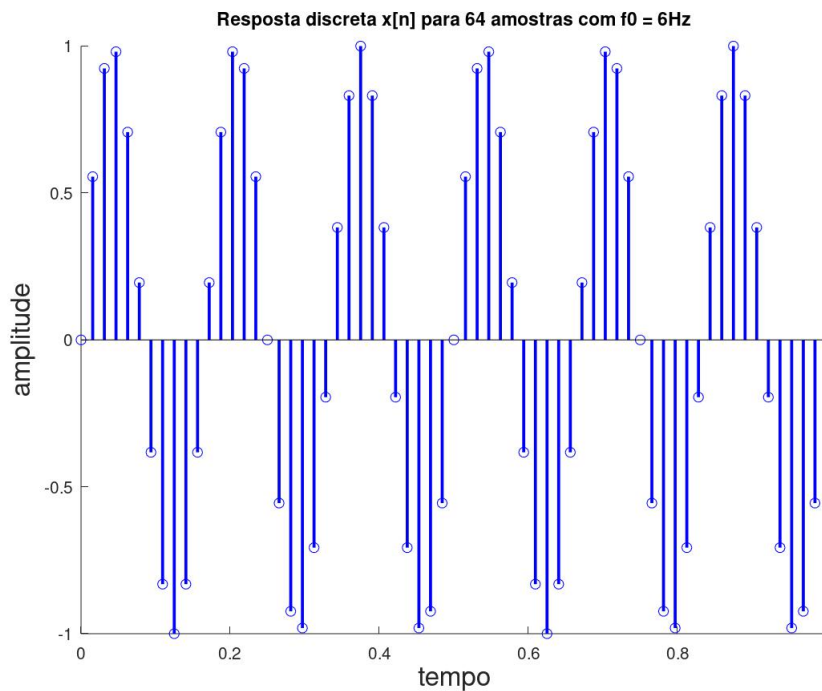


Figura 1: Gráfico da amostragem do sinal senoidal

## 1.2 Item (b)

Calcule a transformada de Fourier  $X(e^{j\Omega})$  associada a sequência  $x[n]$ . Mostre todos os passos da derivação  $e^{j\Omega}$ .

Temos:

$$x[n] = \text{sen}\left(2\pi \frac{f_0}{f_s} n\right) w_N[n];$$

Com  $w_0 = 2\pi f_0$ , fazendo as substituições, podemos reescrever a expressão como:

$$x_1[n] = \text{sen}\left(\frac{w_0}{f_0}n\right) = \frac{e^{j\frac{w_0}{f_s}n} - e^{j\frac{w_0}{f_s}n}}{2}$$

$$x_2[n] = W_N[n] = u[n] - u[n - N]$$

Mas sabemos que a Transformada de Fourier para o Seno e para a janela dada são, respctivamente:

$$X_1(e^{j\Omega}) = \frac{1}{2j} [F(e^{j\frac{w_0}{f_s}n}) - F(e^{-j\frac{w_0}{f_s}n})] = \frac{\pi}{j} [\delta(\Omega - \frac{\omega_0}{f_s}) - \delta(\Omega + \frac{\omega_0}{f_s})]$$

$$X_2(e^{j\Omega}) = \sum_{n=0}^{N-1} e^{-j\Omega n} = \frac{1 - e^{-j\Omega(N-1)} - e^{-j\Omega}}{1 - e^{-j\Omega}}$$

A multiplicação no tempo entre  $x[n]$  e  $w_N[n]$  será uma convolução no domínio da frequência:

$$X(e^{j\Omega}) = \frac{1}{2\pi} (X_1(e^{j\Omega}) * X_2(e^{j\Omega}))$$

$$X(e^{j\Omega}) = \frac{1}{2\pi} \left[ \frac{j}{\pi} \left( e^{-j(\Omega - \frac{w_0}{f_s})(\frac{N-1}{2})} \frac{\sin((\Omega - w_0/f_0)N/2)}{\sin(\Omega - w_0/f_0)} - e^{j(\Omega + \frac{w_0}{f_s})(\frac{N-1}{2})} \frac{\sin((\Omega + w_0/f_0)N/2)}{\sin(\Omega + w_0/f_0)} \right) \right]$$

$$X(e^{j\Omega}) = \frac{j}{2} \left[ e^{j(\Omega + \frac{w_0}{f_s})(\frac{N-1}{2})} \frac{\sin((\Omega + w_0/f_0)N/2)}{\sin(\Omega + w_0/f_0)} - e^{-j(\Omega - \frac{w_0}{f_s})(\frac{N-1}{2})} \frac{\sin((\Omega - w_0/f_0)N/2)}{\sin(\Omega - w_0/f_0)} \right]$$

### 1.3 item (c)

Compute a DFT da sequência  $x[n]$  com  $N$  pontos. Apresente, então, o gráfico de  $X(k)$  em função da frequência  $\Omega$ . Na mesma figura, plote  $X(e^{j\Omega})$ . Tendo em vista as propriedades da DFT, analise o espectro obtido, relacionando-o com  $X(e^{j\Omega})$  e com  $X(j\omega)$  (i.e., com o espectro da senoide analógica).

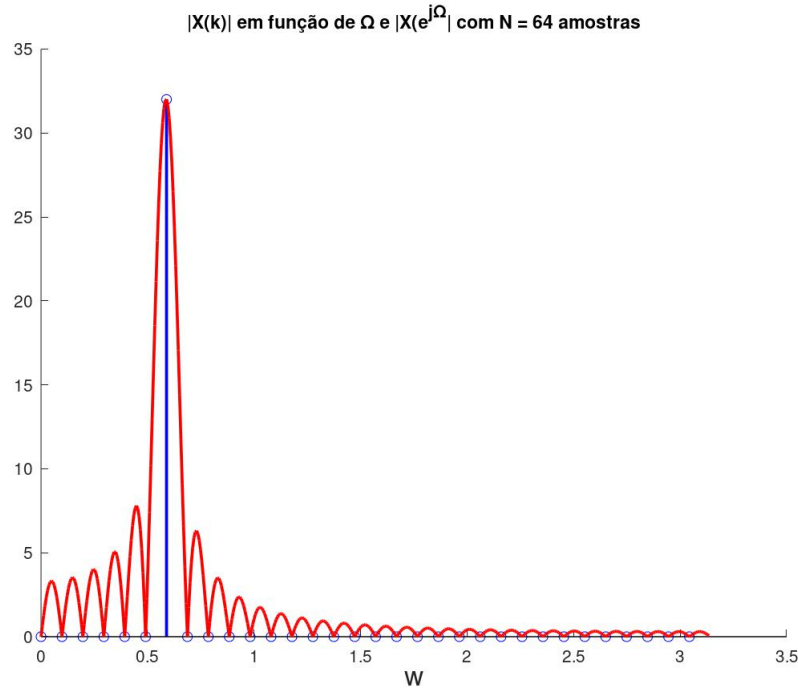


Figura 2: Gráfico do módulo da DFT e transformada de Fourier para  $N$  pontos

Podemos observar em vermelho o espectro em frequência da Transformada de Fourier, onde percebemos que tal espectro é formado por senóides de diferentes amplitudes. Além disso, em azul podemos ver os valores da Transformada Discreta de Fourier (DFT).

O comportamento da DFT pode ser explicado devido a representação de uma senoide pura, tendo em vista que sua DFT será diferente de zero apenas para a frequência fundamental, no caso 6Hz. .

### 1.4 item (d)

Repita o item (c), mas agora calcule a DFT utilizando  $2N$  pontos. O espectro obtido continua sendo uma representação compatível com o esperado para uma senoide pura? Explique o que ocorreu.

Utilizando a DFT com  $2N$  pontos, dobramos a frequência de amostragem, podendo

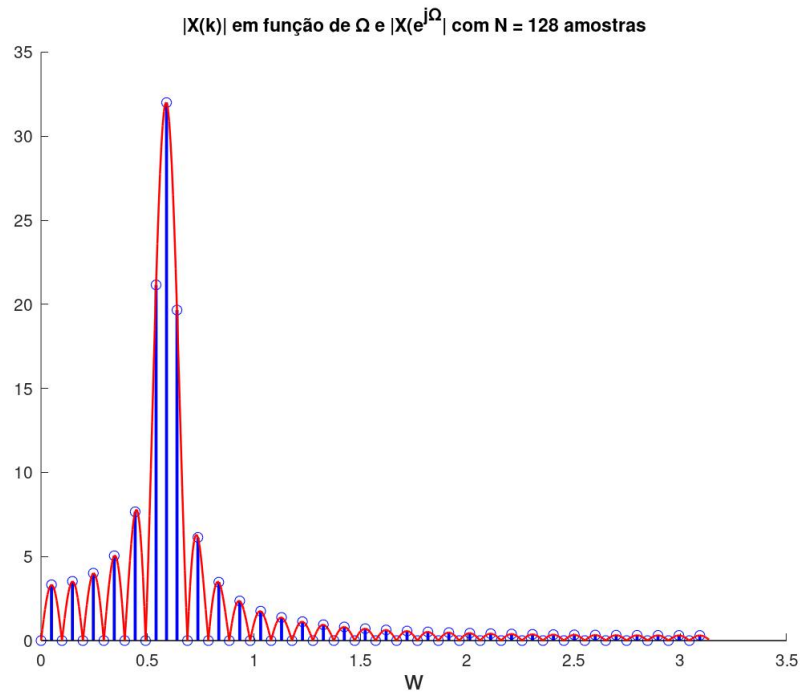


Figura 3: Gráfico do módulo da DFT e transformada de Fourier para  $2N$  pontos

ver que os pontos estão mais próximos. Além disso há mais pontos diferentes de zero na região amostrada.

Com isso podemos destacar que o espectro deixa de ter uma representação de uma senóide pura, tendo em vista que há outras frequências que tem seu espectro diferente da frequência fundamental. Podemos ver ainda o zero-padding, que consiste em uma adição de zeros para que a DFT possa ser calculada para um numero de amostras  $2N \neq N$ .

### 1.5 item (e)

Repita os itens (a) e (c) considerando que a frequência fundamental da senoide analógica é  $f_0 = 6,5\text{Hz}$ . O espectro obtido continua sendo uma representação compatível com o esperado para uma senoide pura? Comente.

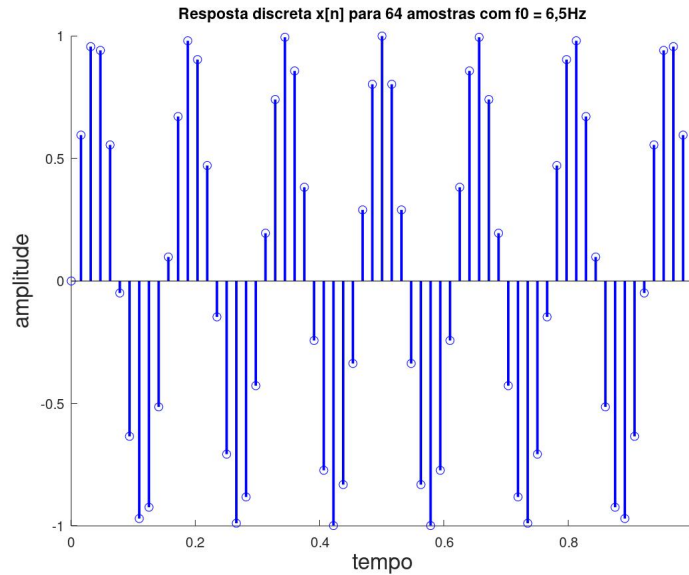


Figura 4: Gráfico da amostragem do sinal senoidal para  $f_0 = 6,5\text{Hz}$

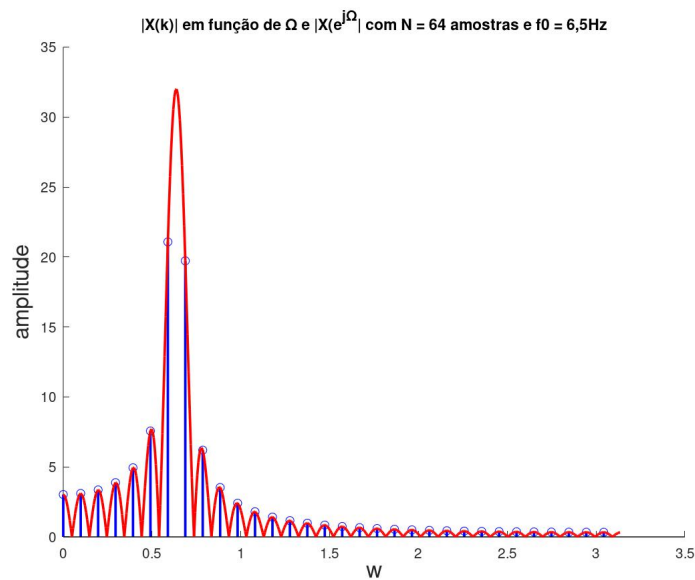


Figura 5: Gráfico do módulo da DFT e transformada de Fourier para  $N$  pontos e  $f_0 = 6,5\text{Hz}$

O primeiro fato a ser observado foi que agora não há mais nenhum ponto da DFT com valor zero, pois não há senos múltiplos de  $\pi$  entre a frequência  $f_0$  e  $f_s$ , que fazia com que os valores da DFT fossem zerados. Além disso não há nenhum ponto no pico da maior senóide, tendo em vista que não há nenhum valor de  $k$  para que seja tomada a amostra na frequência fundamental. Podemos ver que há o chamado vazamento de frequências.

Conclui-se que nesse caso,  $|X(k)|$  se aproxima mais de  $|X(ej\Omega)|$ , transformada da sequência discreta do que de  $X(j\omega)$ , transformada da senoide analógica, não retratando assim uma senóide pura.